

**PROYECTO MAGNA SALAMANCA  
ALBUM FOTOGRAFICO  
HOJA Nº 528 (13-21)  
GUIJUELO**



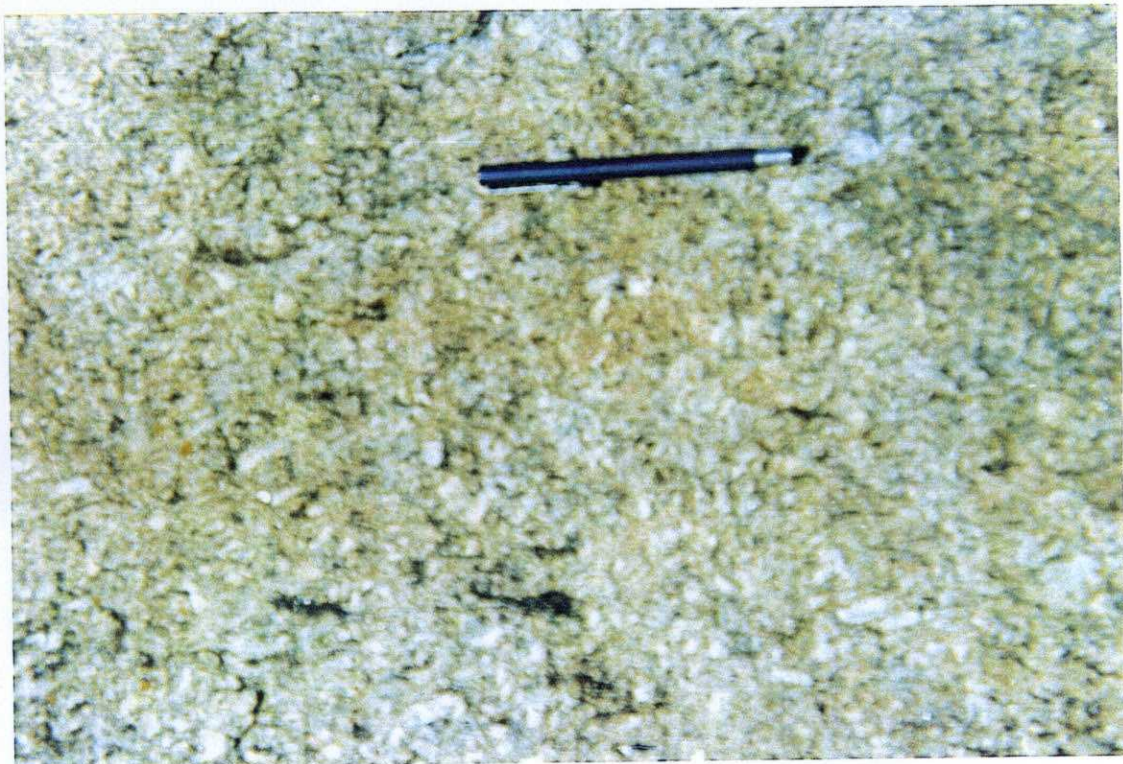
IG-VM <sup>1001</sup> Foto Panorámica hacia el NE de los Leuconeises de Cespedosa-Narrillos, desde el km 10 de la Ctra. de Guijuelo a Piedrahita



IG-VM <sup>1002</sup> Foto Leuconeises con núcleos de máficos. Rio Tormes (Vega de Navalmesado)



**IG-VM** **1003** Foto . Afloramiento de las ortoneises graníticos de Bercinuelle, en esta misma localidad. Km 17'3 de la Ctra. de Guijuelo a Piedrahita



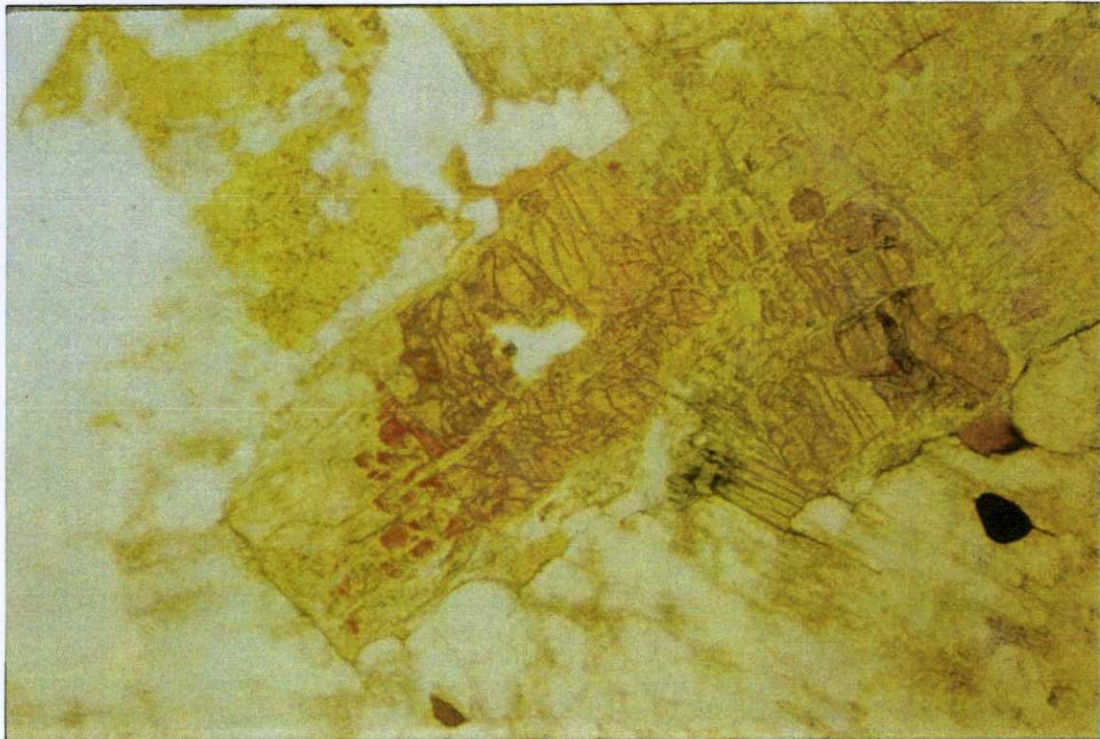
**IG-VM** **1004** Foto . Detalle de los ortoneises graníticos de Bercimuelle afectados por  $D_2$ . Misma localidad anterior



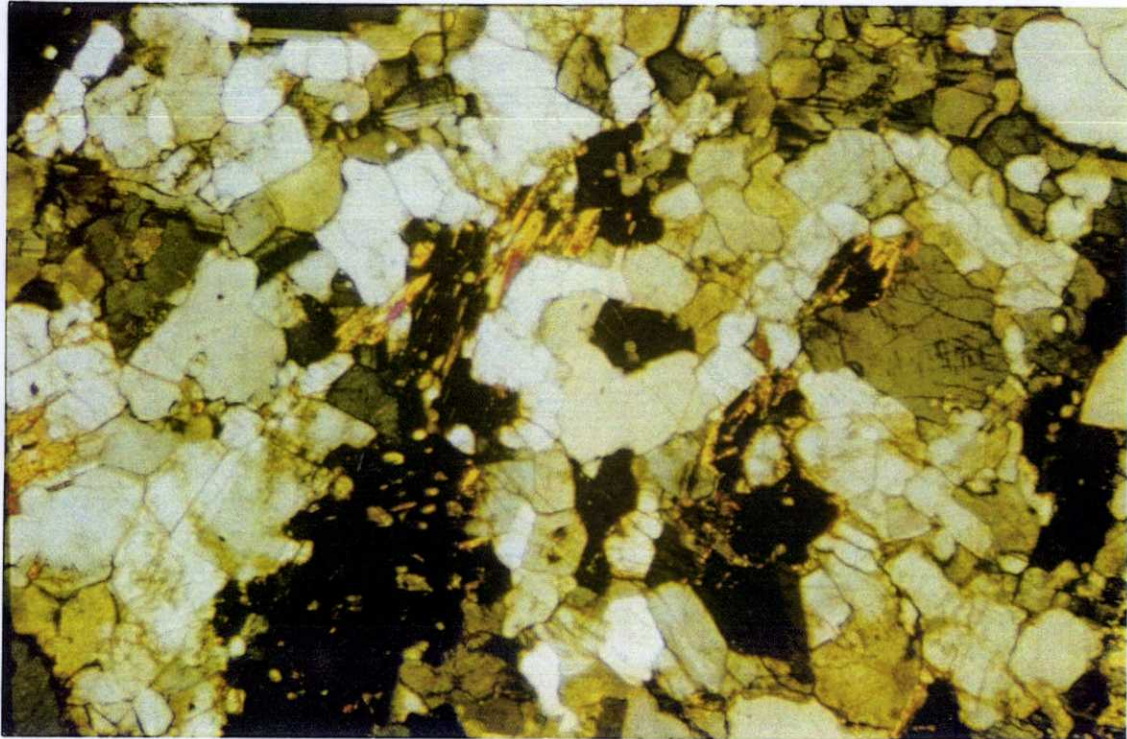
1005  
IG-VM Foto . Panorámica del granito porfídico sincinemático ( $D_3$ ) de el Risco desde el Sur de Céspedes



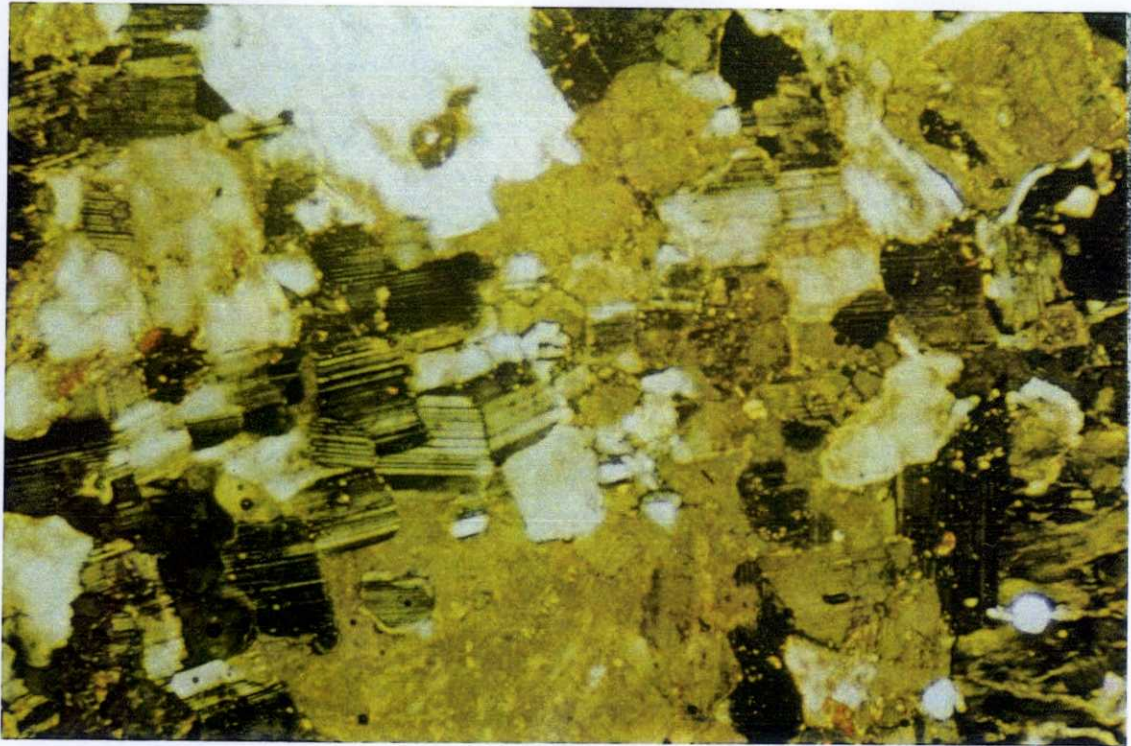
1006  
IG-VM Foto . Granito porfídico sincinemático ( $D_3$ ) de El Risco. Facies con megacristales Playa de Céspedes en el Tormes



IG-VM <sup>1007</sup> Foto Cristal de Cordierita en el granito porfídico sincinemático del Risco. Luz paralela  
\* NO TIENE UBICACIÓN \*



IG-VM <sup>1008</sup> Foto Recristalización en el granito porfídico sincinemático de El Risco. El mineral más negro es cordierita. Nicoles cruzados  
\* NO TIENE UBICACIÓN \*



IG-VM 1009 Foto. Recristalización de plagioclasa de los granitos porfídicos sincinemáticos del Risco.  
Nicoles cruzados  
\* NO TIENE UBICACIÓN \*

IG-VM 1010 Foto. Afloramiento de tonalitas-granodioritas en el Rio Tormes.  
Puente Congosto

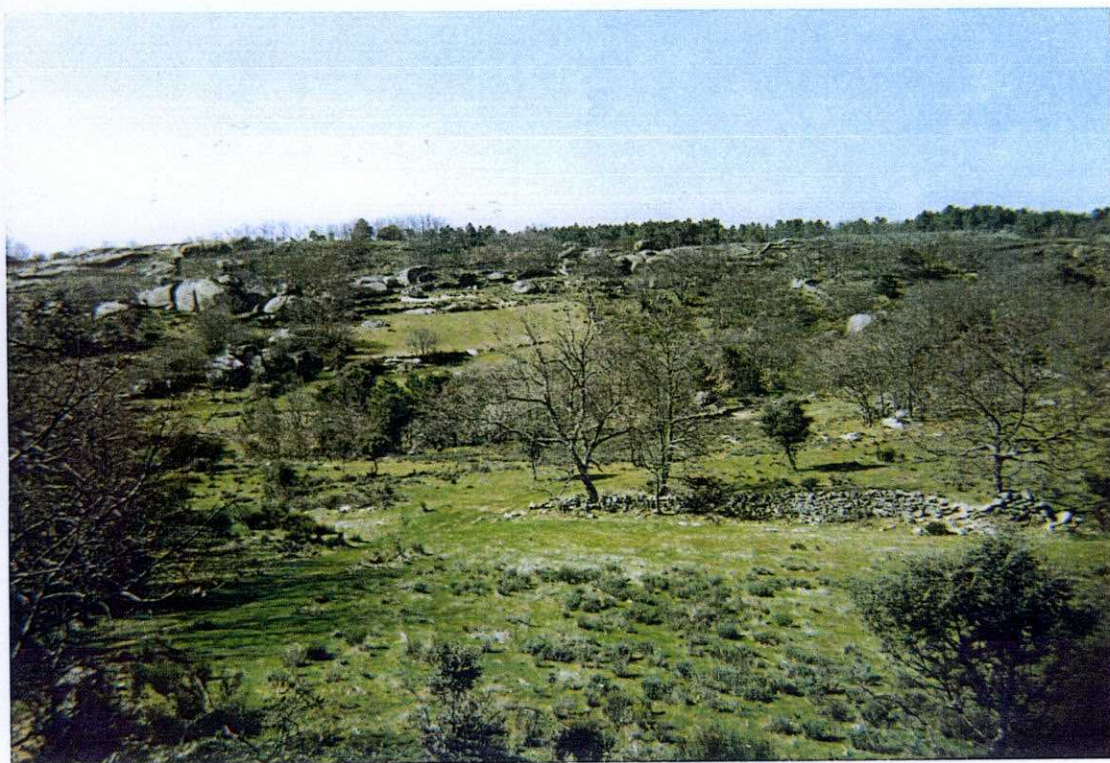




IG-VM

1011

Foto . Tonalitas-granodioritas migmatizadas en las proximidades de Puente del Congosto.  
Regato del Arroyuelo



1012

IG-VM

Foto Panorámica de los monzongranitos biotíticos de Valdelacasa. Km 7'4 de la Ctra. de  
Guijuelo a Cristobal



IG-VM Foto 1013. Detalle de los monzogranitos biotíticos de Valdelacasa. Mismo afloramiento anterior



IG-VM Foto 1014. Cantera de Monzogranito biotítico de los Santos. 300 m al S de la citada localidad

IG-VM

1015

Foto Alineaciones vertica-  
lizadas de enclaves tonalíticos  
en los monzogranitos biotíticos  
de Los Santos. Misma localidad  
anterior



IG-VM

1016

Foto . Monzogranitos biotíticos de los Santos. Misma localidad anterior



IG-VM

Foto <sup>1017</sup> . Metamorfismo de contacto con nódulos en la F. Monterrubio al S de Cespedosa. Camino del Vado de Santibañez

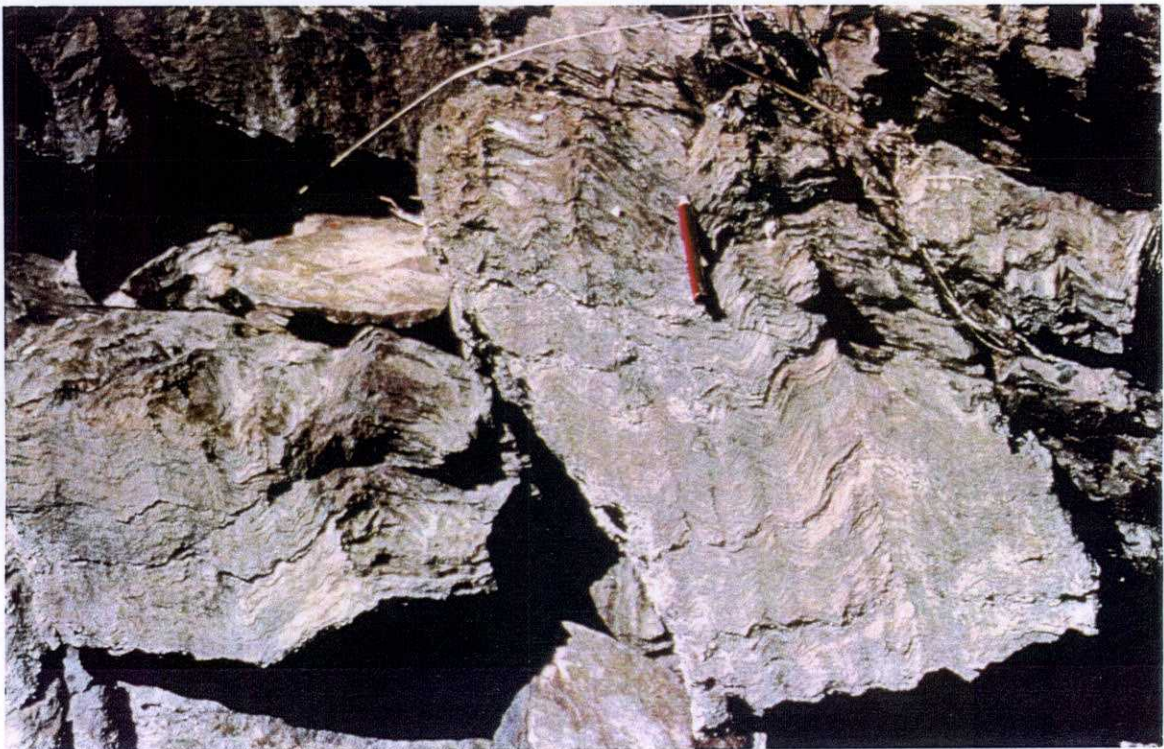


IG-VM

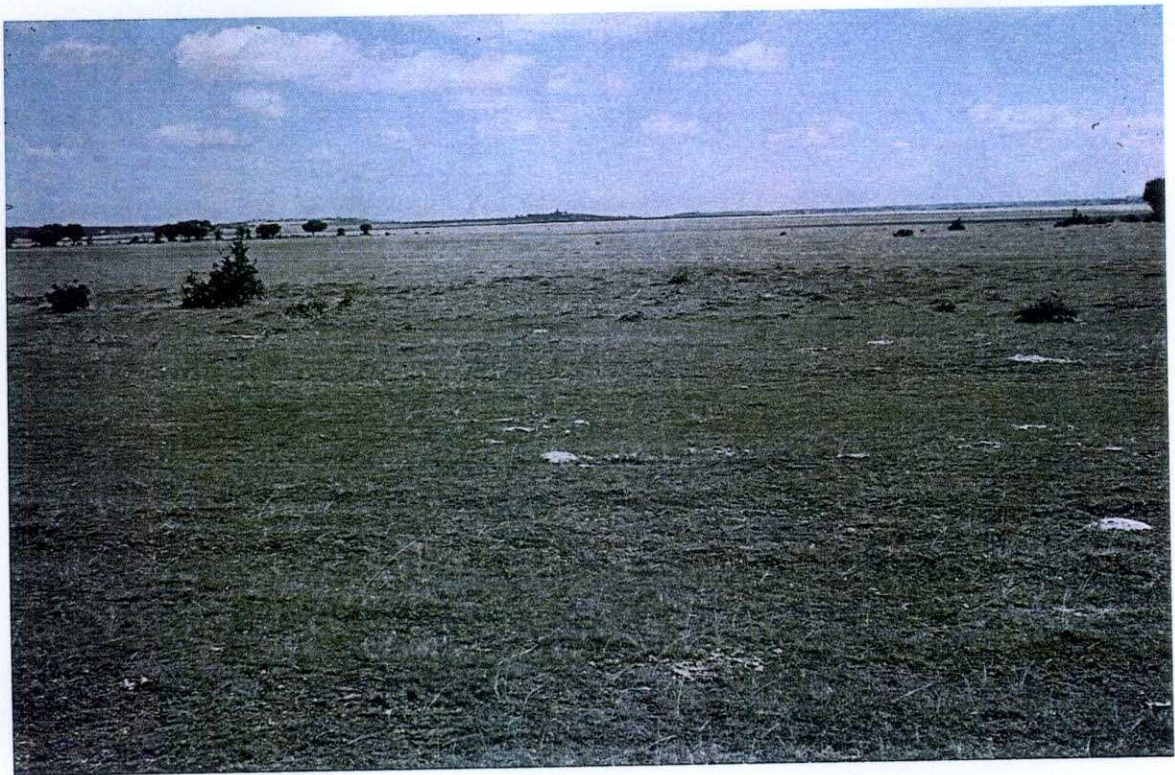
Foto <sup>1018</sup> Formación Monterrubio, afectada por  $D_2$  al NE de Guijo de Avila. Pliegues de  $D_2$  con interferencias de  $D_3$



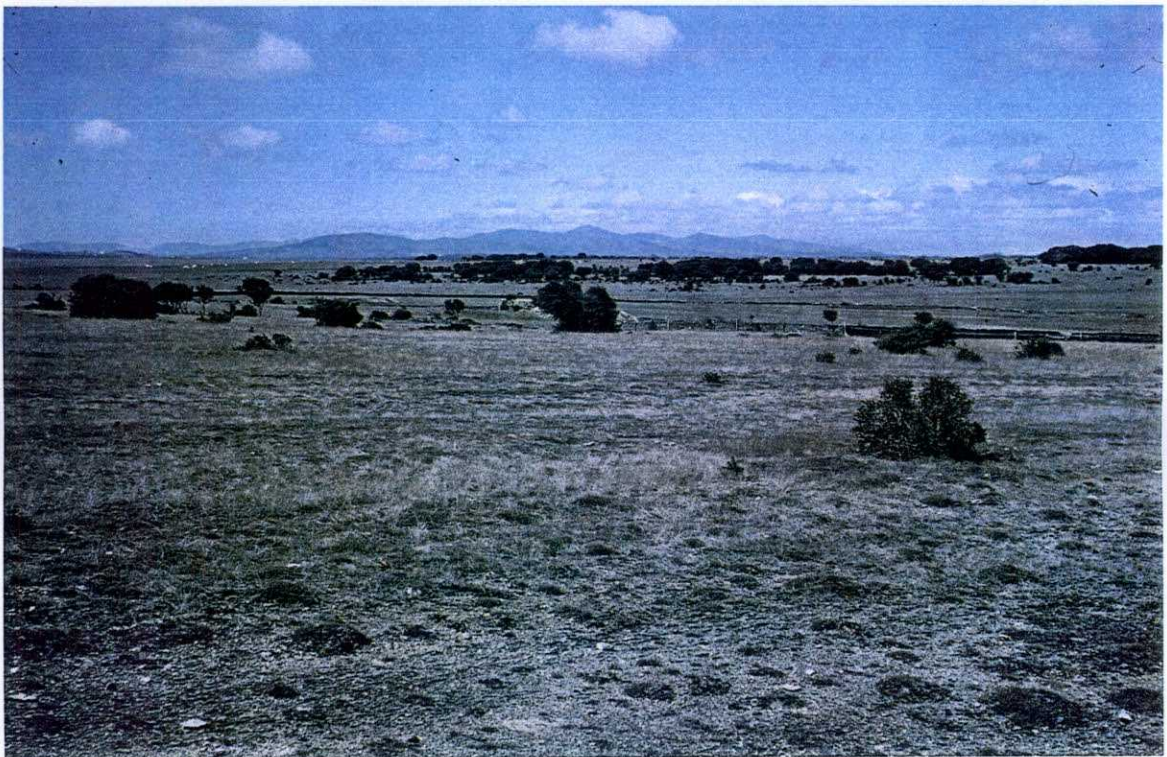
IG-VM Foto <sup>1019</sup> . Formación Monterrubio, interferencia de plegamiento  $D_2$ - $D_3$  al NE de Guijo de Avila



IG-VM Foto <sup>1020</sup> . Tramo pelítico de la F. Monterrubio con deformación predominante  $D_2$  ( $S_2$ ) afectada por una crenulación  $D_3$  (lápiz). 500 m al S del Puente sobre el Tormes de la Ctra. de Guijuelo a Piedrahita



IG-AS Foto <sup>1029</sup>. Superficie de erosión sobre la Formación Aldeatejada en las cercanías de Berrocal de Salvatierra



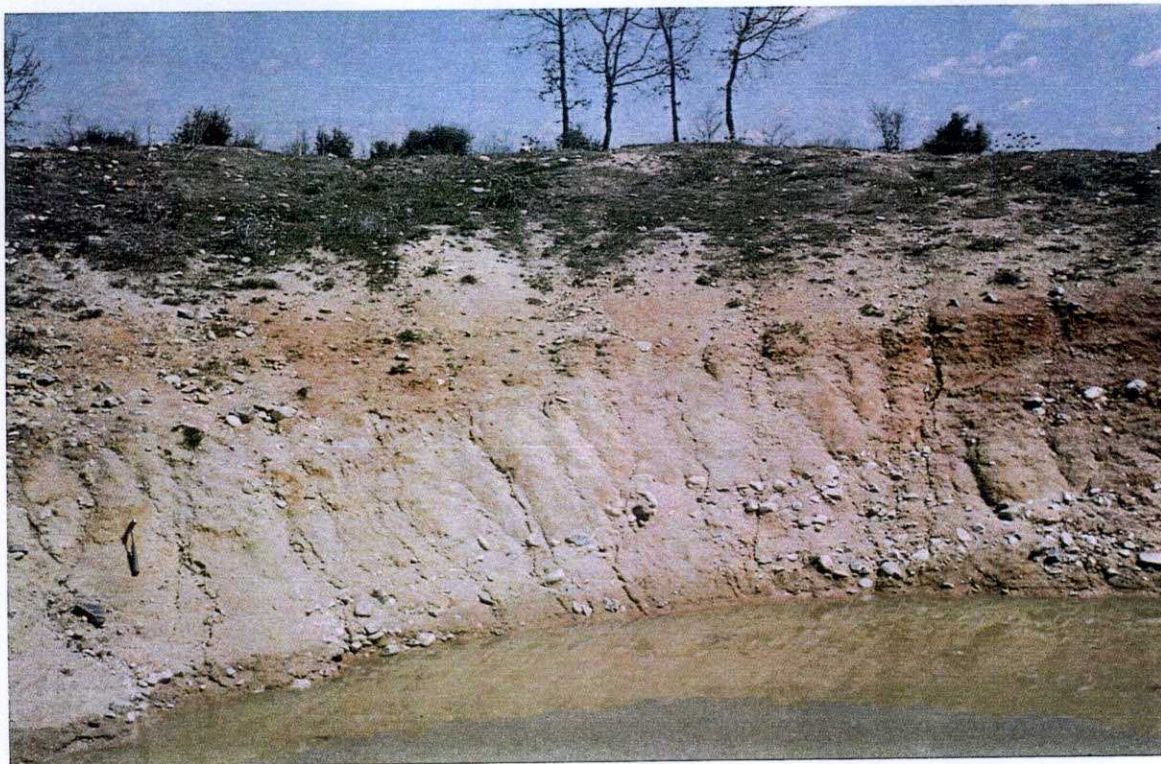
IG-AS Foto <sup>1030</sup>. Superficie de erosión sobre las pizarras de la Formación Aldeatejada en las proximidades de Berrocal de Salvatierra. Al fondo Sierra de Tamames y Peña de Francia



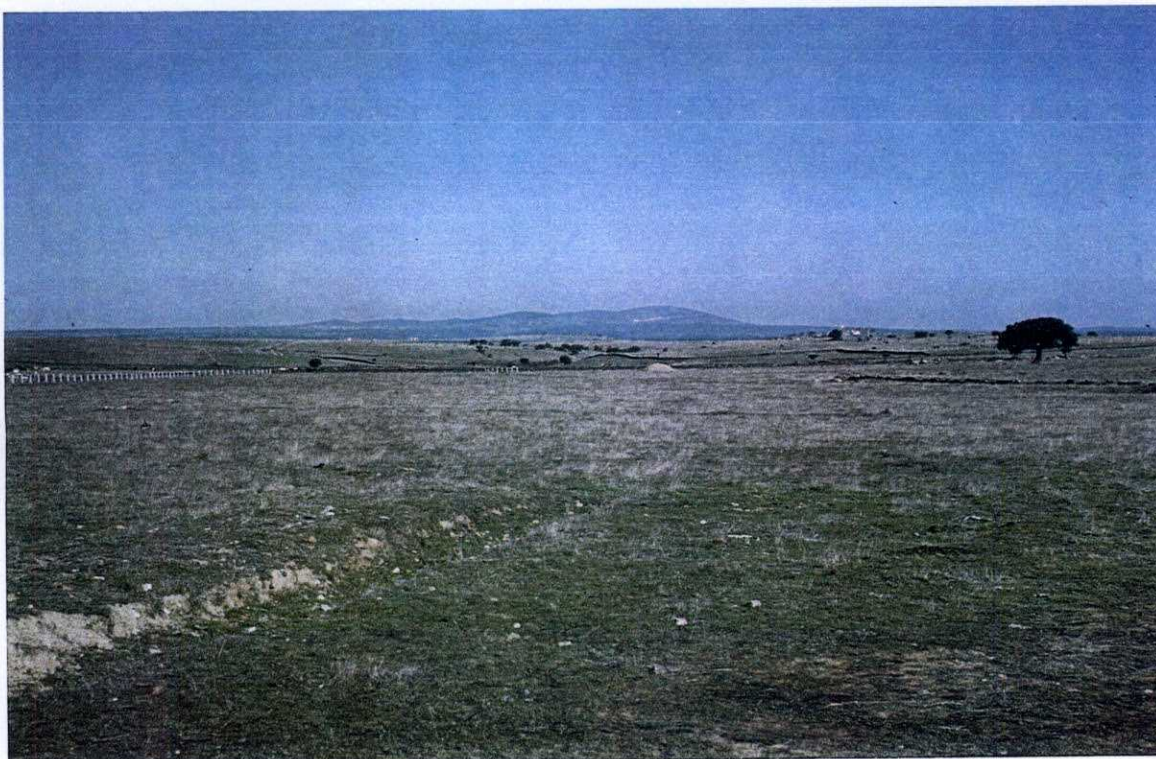
IG-AS Foto 1031 . Relieves residuales de la Sierra de Frades



IG-AS Foto 1032 . Depósitos de terraza fluvial



IG-AS Foto <sup>1033</sup>. Afloramientos arcócos en las proximidades de Salvatierra bajo una terraza fluvial y entre ambas una notable rufefacción



IG-AS Foto <sup>1034</sup>. Superficies aluviales y erosivas en la cabecera del rio Alagón. Al fondo la Sierra de Frades



IG - AS Foto 1035 . Altos de Tonda, un relieve residual sobre la penillanura salmantina elaborado sobre la F. Aldeatejada fuertemente metamorfizada



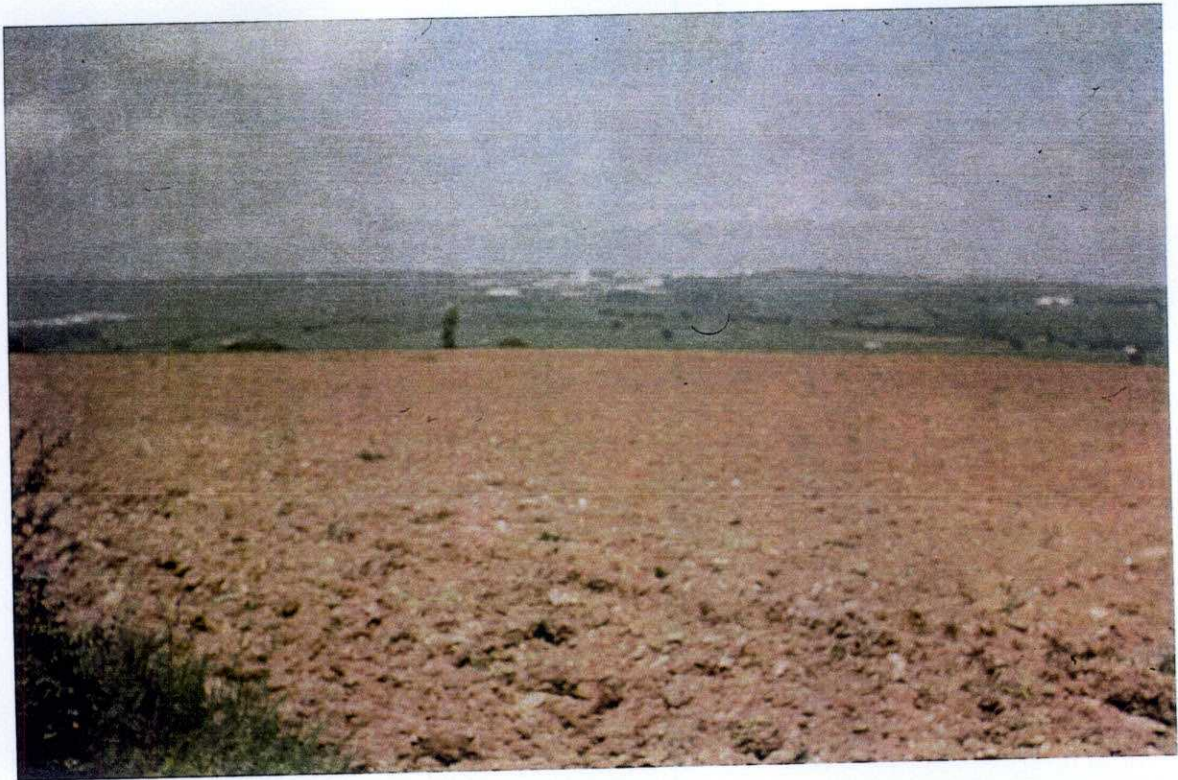
IG - AS Foto 1036 Pizarras metamorfizadas de la F. Aldeatejada, fuertemente alteradas



IG-AS Foto <sup>1037</sup> . El Risco, inselberg granítico cerca de Santibañez de Béjar



IG-AS Foto <sup>1038</sup> . Guijuelo desde las estribaciones de los altos de Tonda



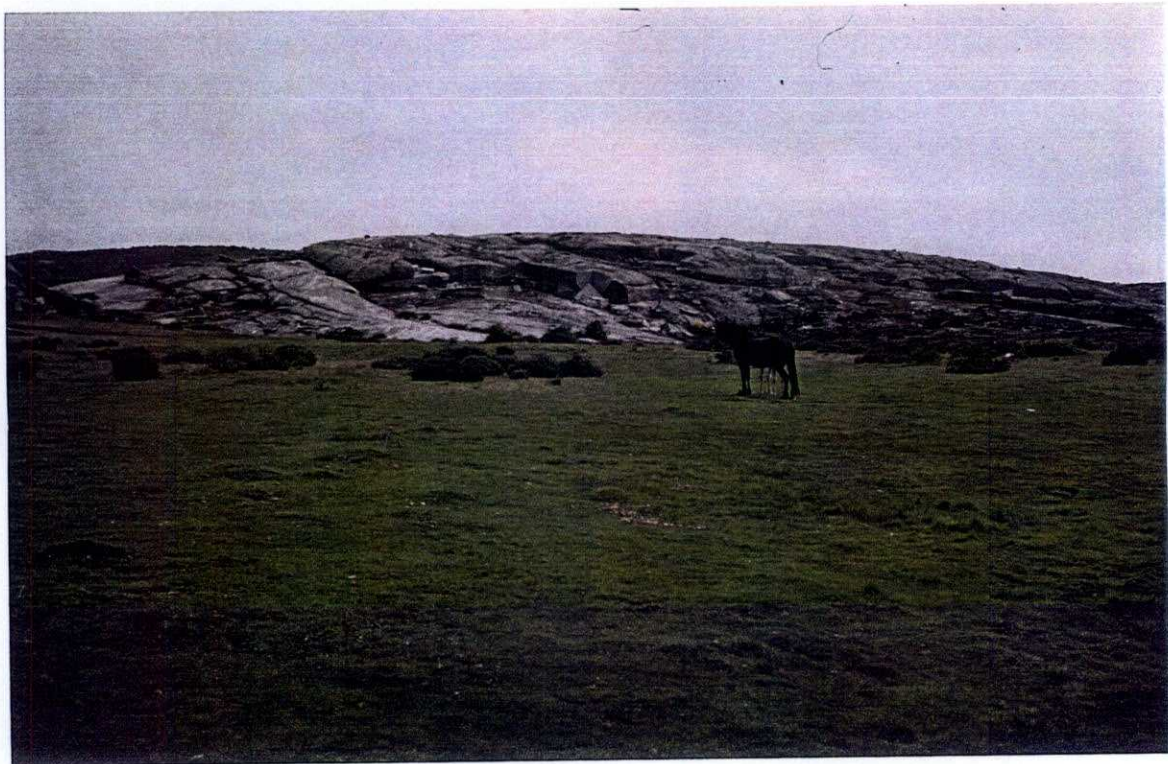
IG-AS Foto <sup>1039</sup> Hombreira en los Altos de Tonda con Guijuelo en el horizonte. Superficie fuertemente alterada



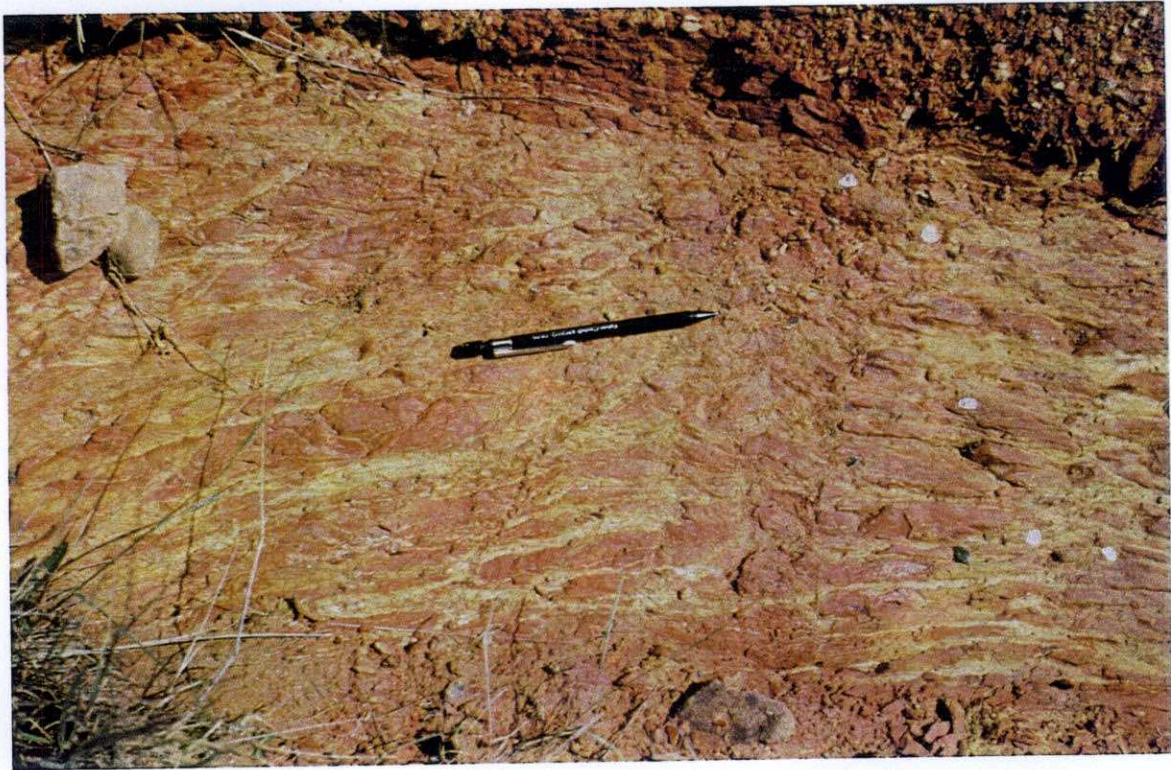
IG-AS Foto <sup>1040</sup> Depósitos aluvio-coluviales procedentes del desmantelamiento de alteritas rojas en las proximidades de Guijuelo



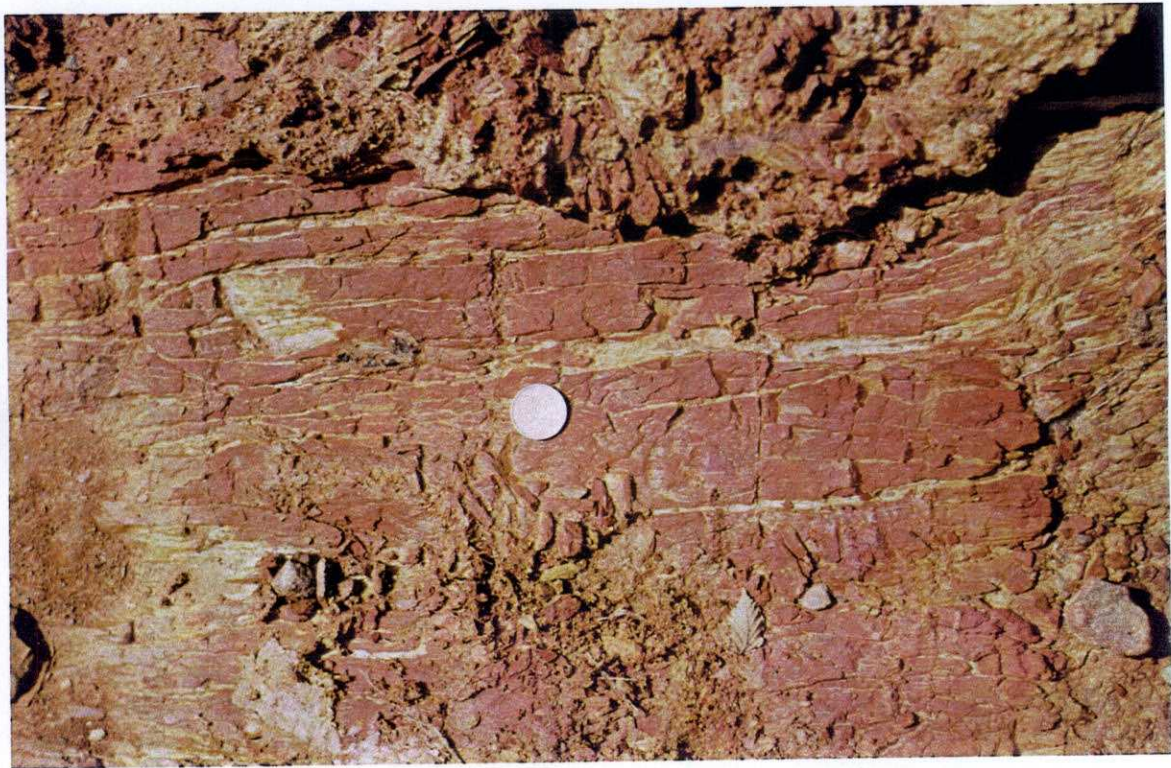
IG-AS Foto <sup>1041</sup> . Depósito aluvio-coluvial, como en la fotografía anterior, apoyándose sobre alteritas rojas



IG-AS Foto <sup>1042</sup> Modelado granítico en las proximidades de Valdelacasa



IG-AS Foto <sup>1043</sup>. Detalle de alterita sobre la F. Aldeatejada metamorfizada

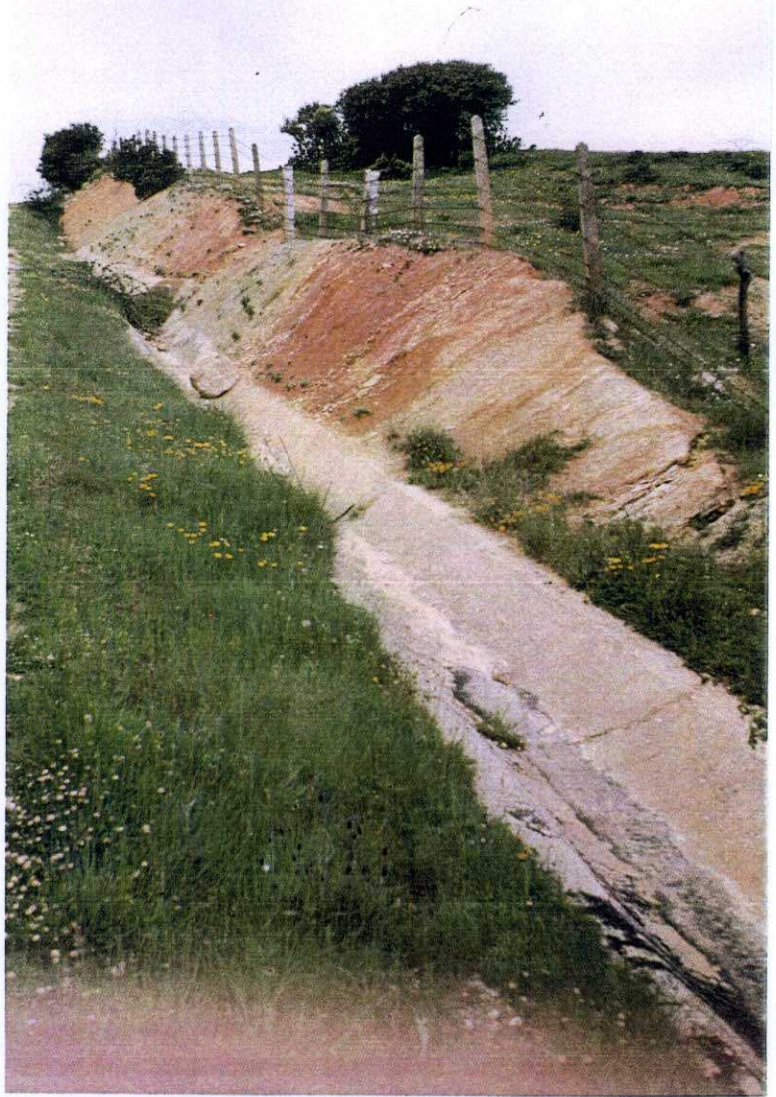


IG-AS Foto <sup>1044</sup>. Idem anterior

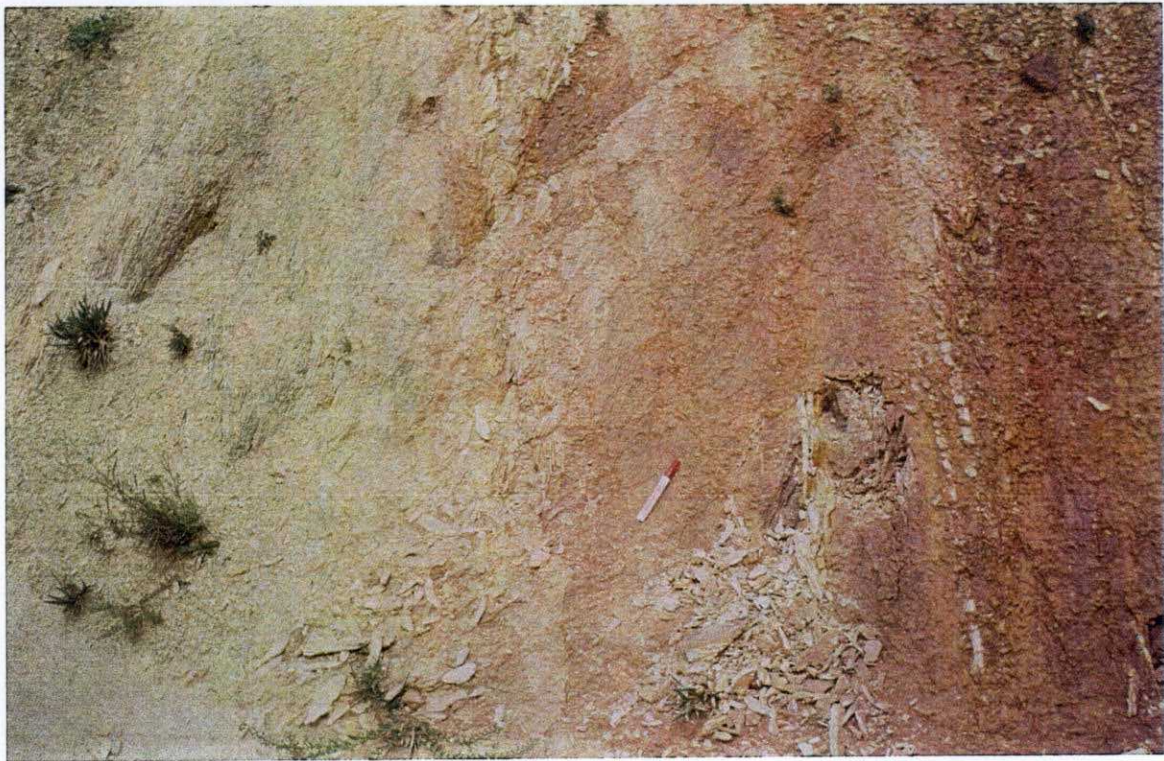
IG-AS

1045

Foto . Distintos aspectos  
de la interdigitación de  
facies rojas y facies arcósicas  
en los depósitos terciarios  
de la Tala



IG-AS Foto 1046 Idem anterior



IG - AS Foto <sup>1047</sup> Idem anterior



IG - AS Foto <sup>1048</sup> Depósitos de terraza fluvial del Tormes al norte de La Tala

IG-AS Foto 1049 . Detalle del Depósito anterior



IG-AS Foto 1050 . Depósito aluvial subactual



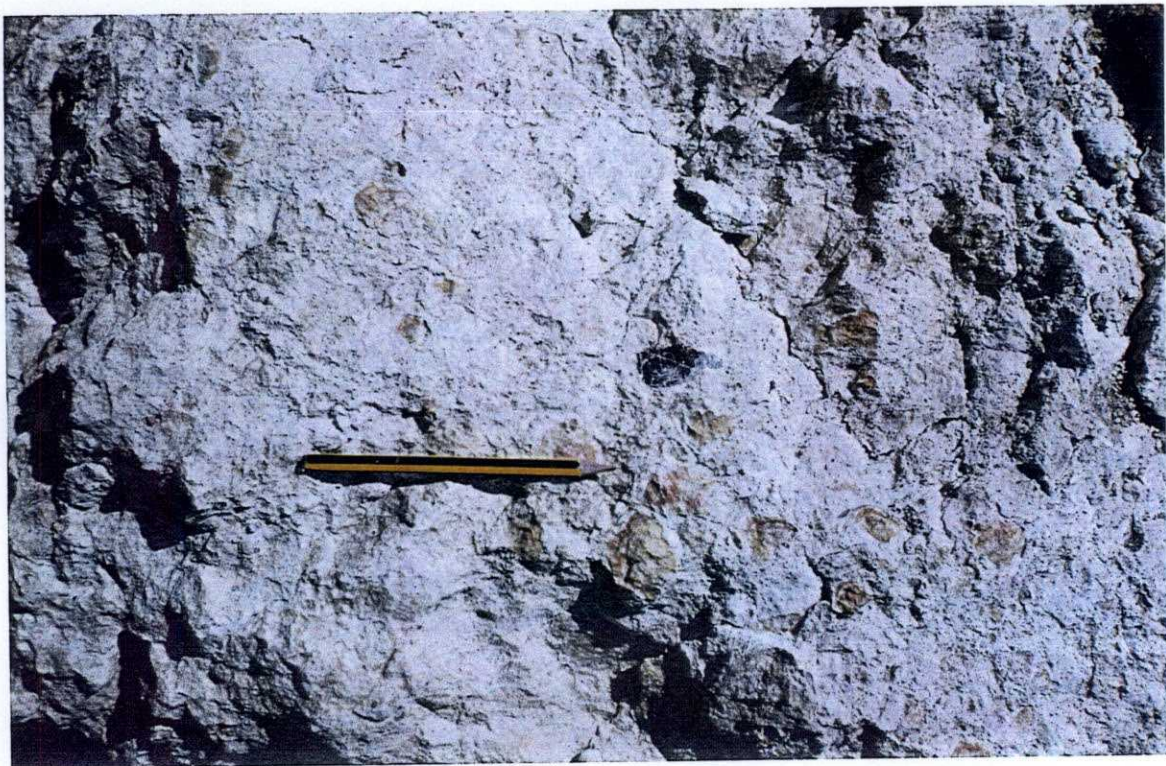
1051  
IG-AS Foto Formación arcósica terciaria



1052  
IG-AS Foto . Idem anterior



IG-AS Foto <sup>1053</sup> Terraza fluvial



IG-AS Foto <sup>1054</sup> Encostramientos

## DIPOSITIVAS

Diapositiva 21	Idem Foto	<b>1002</b>
Diapositiva 22	Idem Foto	<b>1005</b>
Diapositiva 23	Idem Foto	<b>1010</b>
Diapositiva 24	Idem Foto	<b>1011</b>
Diapositiva 25	Idem Foto	<b>1017</b>
Diapositiva 26	Idem Foto	<b>1018</b>
Diapositiva 27	Idem Foto	<b>1019</b>
Diapositiva 28	Idem Foto	<b>1020</b>









